

การแยกและวิเคราะห์ลักษณะของไมโครแซเทลไลท์เอ็นเอชนิดไดนิวคลีโอไทด์ในกิ้งกูดดำ

Panaeus monodon Fabricius



นางสาวชวนชม มวลประสิทธิ์พร

สถาบันวิทยบริการ

วิทยานิพนธ์นี้เป็นส่วนหนึ่งของการศึกษาตามหลักสูตรปริญญาวิทยาศาสตรมหาบัณฑิต

หลักสูตรเทคโนโลยีทางชีวภาพ

บัณฑิตวิทยาลัย จุฬาลงกรณ์มหาวิทยาลัย

ปีการศึกษา 2541

ISBN 974-639-717-6

ลิขสิทธิ์ของบัณฑิตวิทยาลัย จุฬาลงกรณ์มหาวิทยาลัย

- 6 ต.ธ. 2544

I18271170

ISOLATION AND CHARACTERIZATION OF DINUCLEOTIDE-MICROSATELLITE

DNA IN *Panæus monodon* Fabricius

Miss Chaunchom Maunpasitporn

A Thesis Submitted in Partial Fulfillment of the Requirements
for the Degree of Master of Science in Biotechnology

Program of Biotechnology

Graduate School

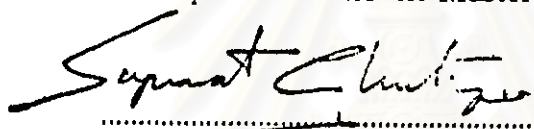
Chulalongkorn University

Academic Year 1998


ISBN 974-639-717-6

Thesis Title ISOLATION AND CHARACTERIZATION OF
 DINUCLEOTIDE-MICROSATELLITE DNA IN
 PENAEUS MONODON Fabricius
By Miss Chaunchom Maunpasitporn
Department Biotechnology
Thesis Advisor Anchalee Tassanakajon, Ph.D.
Thesis Co-advisor Vichien Rimphanitchayakit, Ph.D.


Accepted by Graduate School, Chulalongkorn University in Partial
Fulfillment of the Requirements for the Master's Degree



..... Dean of Graduate School
(Professor Supavat Chutivongse, M.D.)

Thesis Committee


..... Chairman
(Assistant Professor Tipaporn Limpaseni, Ph.D.)


..... Thesis Advisor
(Associate Professor Anchalee Tassanakajon, Ph.D.)


..... Thesis Co-advisor
(Assistant Professor Vichien Rimphanitchayakit, Ph.D.)


..... Member
(Sirawut Klinbunga, Ph.D.)

ชวนชม มวลประสิทธิ์พร : การแยกและวิเคราะห์ลักษณะของไมโครแซเทลไลท์ดีเอ็นเอชนิด

ไดนิวคลีโอไทด์ในกุ้งกุลาดำ *Penaeus monodon* Fabricius

อ. ที่ปรึกษา : รศ.ดร.อัญชลี ทศนาขจร, อ. ที่ปรึกษาร่วม ผศ.ดร.วิเชียร ริมพนิชยกิจ

99 หน้า. ISBN 974-639-717-6

ไมโครแซเทลไลท์เป็น genetic markers ที่สำคัญในสิ่งมีชีวิตชั้นสูง จึงมีความสนใจที่จะหา genetic markers ชนิดนี้เพื่อนำไปใช้ในการคัดเลือกพันธุ์กุ้งกุลาดำ โดยการแยกและวิเคราะห์ลักษณะของไมโครแซเทลไลท์ดีเอ็นเอในกุ้งกุลาดำ สร้างห้องสมุดยีน 2 แบบ ห้องสมุดยีน A ได้จากการตัดดีเอ็นเอด้วยเอนไซม์ตัดจำเพาะ *Alu* I, *Rsa* I, *Hae* III และ *Hinc* II ห้องสมุดยีน B ได้จากการตัดดีเอ็นเอด้วยเอนไซม์ตัดจำเพาะ *Alu* I และ *Rsa* I

จากห้องสมุดยีน A แยกได้โคลนที่ให้ผลบวกจำนวน 60 และ 225 โคลน จากโคลนที่ตรวจสอบทั้งสิ้น 5,250 และ 6,390 โคลน โดยใช้ $(CT)_{15}$ และ $(GT)_{15}$ เป็นตัวติดตาม ตามลำดับ แต่ไม่พบโคลนที่ให้ผลบวกเลยเมื่อใช้ $(AT)_{15}$ เป็นตัวติดตาม นำโคลนที่ให้ผลบวกกับตัวติดตาม $(CT)_n$ มาหาลำดับเบสพบไมโครแซเทลไลท์ 16 โคลน และเมื่อแบ่งเป็นชนิด พบว่ามีลักษณะเป็น perfect 2 โคลน, imperfect 12 โคลน และ compound 2 โคลน ส่วนโคลนที่ให้ผลบวกกับ $(GT)_n$ พบไมโครแซเทลไลท์จำนวน 76 โคลน แบ่งเป็น perfect 20 โคลน, imperfect 30 โคลน และ compound 26 โคลน ห้องสมุดยีน B ได้ โคลนที่ให้บวก 121 โคลนจากโคลนที่ตรวจสอบ 2,400 โคลนโดยใช้ $(GT)_{12}$ เป็นตัวติดตาม พบไมโครแซเทลไลท์จำนวน 40 โคลน แบ่งได้เป็น perfect 11 โคลน, imperfect 17 โคลน และ compound 12 โคลน

จากการคำนวณพบว่าโดยเฉลี่ยในจีโนมของกุ้งกุลาดำจะพบ $(CT)_n$ และ $(GT)_n$ ในทุกๆ 164 และ 42 กิโลเบส ชนิดของไมโครแซเทลไลท์ที่พบมากที่สุดคือ imperfect ใน $(CT)_n$ พบ 75.0% และ $(GT)_n$ พบ 39.5% ขนาดของไมโครแซเทลไลท์ที่พบมากที่สุดคือใน $(CT)_n$ คือ 12-17 และ $(GT)_n$ คือ 36-46 repeats แม้ว่า จะไม่พบโคลนที่ให้ผลบวก จากการใช้ $(AT)_{15}$ เป็นตัวติดตาม แต่เมื่อหาลำดับเบสกลับพบว่า มี $(AT)_n$ กระจายอยู่ทั้งใน $(CT)_n$ และ $(GT)_n$ ไมโครแซเทลไลท์ จากลำดับเบสของไมโครแซเทลไลท์โคลนที่ได้ นำมาออกแบบไพรเมอร์ได้ 6 คู่ เพื่อดูความหลากหลายของไมโครแซเทลไลท์โดยเทคนิคพีซีอาร์พบว่ามีเพียงไพรเมอร์ 2 คู่ ที่ให้ผลผลิต พีซีอาร์ตามที่คาดหวัง แต่ไม่สามารถนับจำนวนของอัลลีลได้อย่างชัดเจน

ภาควิชา
เทคโนโลยีทางชีวภาพ
สาขาวิชา
2541
ปีการศึกษา

ลายมือชื่อนิสิต ชวนชม มวลประสิทธิ์พร
ลายมือชื่ออาจารย์ที่ปรึกษา อัญชลี ทศนาขจร
ลายมือชื่ออาจารย์ที่ปรึกษาร่วม วิเชียร ริมพนิชยกิจ

C 827355 : MAJOR BIOTECHNOLOGY
KEY WORD: *Penaeus monodon* / Microsatellite DNA

CHAUNCHOM MAUNPASITPORN : ISOLATION AND CHARACTERIZATION OF
DINUCLEOTIDE-MICROSATELLITE DNA IN *Penaeus monodon* Fabricius. THESIS
ADVISOR : ASSOC. PROF. ANCHALEE TASSANAKAJON, Ph.D. THESIS COADVISOR :
ASST. PROF. VICHEN RIMPHANTCHAYAKIT, Ph.D. 99 pp. ISBN 974-639-717-6

Microsatellites have emerged as an important source of genetic markers for eukaryotic genomes. In this study, dinucleotide microsatellite sequences were isolated and characterized from the genome of the black tiger prawn, *Penaeus monodon*. Two partial genomic libraries; Library A from digestion of *P. monodon* genomic DNA with restriction enzymes, *Alu* I, *Rsa* I, *Hae* III and *Hinc* II and Library B from digestion with restriction enzymes, *Ala* I and *Rsa* I were constructed. For the Library A, 60 and 225 positive recombinants from 5,250 and 6,390 clones were found after screening with (CT)₁₅ and (GT)₁₅ probes, respectively, but no positive recombinant clones were found when (AT)₁₅ probe was used. Nucleotide sequencing of 16 (CT)_n revealed 2 perfect, 12 imperfect and 2 compound microsatellites and of 76 (GT)_n, 20 perfect, 30 imperfect and 26 compound microsatellites were found. Library B, 121 out of 2,400 colonies were positive when hybridized with (GT)₁₅ probes and 40 clones contained microsatellites. From these clones, 11 perfect, 17 imperfect and 12 compound microsatellites were found.

On average, (CT)_n and (GT)_n microsatellites occur every 164 and 42 kb. The predominant category of *P. monodon* (CT)_n and (GT)_n was imperfect repeats; 75% and 39.5%, respectively. The most common size class was an array of 12-17 repeats for (CT)_n and that of 36-46 repeats for (GT)_n. Although, positive recombinant clones were not found using (AT)₁₅ probes but the repeats of (AT)_n were found with (CT)_n and (GT)_n microsatellites. Among 6 pairs of microsatellite primers surveyed, two produced expected PCR product but alleles were ambiguously scored.

ภาควิชา.....

สาขาวิชา..... เทคโนโลยีทางชีวภาพ

ปีการศึกษา..... 2541

ลายมือชื่อนิติ..... ชว ๒๖๒๑ ภาควิชาสัตวบาล

ลายมือชื่ออาจารย์ที่ปรึกษา.....

ลายมือชื่ออาจารย์ที่ปรึกษาร่วม.....

Acknowledgments

I would like to express my deepest gratitude to my advisor, Associate Professor Dr. Anchalee Tassanakajon for her guidance, supervision, encouragement and supports throughout my study.

I am very grateful to Assistance Professor Dr. Vichien Rimphanitchayakit for his great helps, guidances, and suggestions in laboratory techniques. I am also very thankful to Assistance Professor Dr. Tipapom Limpaseni for her recommendation. The special thanks are also extended to Dr. Sirawut Klinbunga for his helps. I am very grateful to everybody of Hematology in Chulalongkorn Hospital And to Miss Arissara Puangmalee, Miss Warisa Tangjringjai, Miss Nadthanan Phusri, Miss Tanaporn Verapaditsin., Miss Kanniga Kadgangam, Miss Rungnapha Phasook, Miss Doungporn Srihanuntawong and Mr. Surachai Leephitakrat. Thanks are also expressed to and all my friends for the Biochemistry and Biotechnology department especially in R707, R708 and R709 for their helps in the laboratory and friendships that help me enjoy and happy through out my study. Collaboration and kindness the help me enjoy and happy throughout my study.

I am grateful to The Nasional Science and Technology Development Agency of Thailand (NSTDA).

Finally, I would like to express my deepest gratitude to my mother and members of my family for their love, care, understanding and encouragement. extended throughout my study.

CONTENTS

	Page
THAI ABSTRACT	iv
ENGLISH ABSTRACT	v
ACKNOWLEDGEMENTS	vi
CONTENTS	vii
LIST OF TABLES	x
LIST OF FIGURES	xii
LIST OF ABBREVIATIONS	xv
CHAPTER	
I INTRODUCTION.....	1
General Introduction.....	1
Distribution	2
Exploitation.....	4
Morphometric Variation Studies.....	7
Genetic Markers.....	9
1. Allozyme.....	9
2. Mitochondria DNA	10
3. Variable Number of Tandem Repeat (VNTR).....	11
3.1 Satellites.....	12
3.2 Minisatellites	12
3.3 Microsatellites	13
II MATERIALS AND METHODS	18
Chemicals and Materials.....	18
1. Samples.....	20
2. DNA extraction	20
3. Agarose Gel Electrophoresis.....	22

4. Measurement of DNA Concentration.....	22
5. Construction of Genomic Libraries from <i>P.monodon</i>	23
5.1 Library A.....	23
5.1.1 Preparation of DNA fragments for cloning.....	23
5.1.2 Ligation.....	24
5.1.3 Transformation.....	24
5.1.3.1 CaCl ₂ method.....	24
5.1.3.2 Electroporation.....	25
5.1.3.2.1 Preparation of host cells.....	25
5.1.3.2.2 Electrotransformation.....	26
5.2 Library B.....	26
6. Screening of microsatellite DNA using colony hybridization.....	27
6.1 Colony blotting.....	27
6.2 End-labeling of the oligonucleotide (CT) ₁₅ and (GT) ₁₅ probes.....	27
6.3 Prehybridization and Hybridization.....	28
7 Characterization of microsatellite-containing clones by DNA sequencing.....	29
7.1 Preparation of plasmid DNA template for sequencing.....	29
7.2 Sequencing method.....	29
8 Polymorphism of <i>P.monodon</i> microsatellites.....	31
8.1 Primer design.....	31
8.2 Amplification of microsatellite loci through PCR.....	31
8.3 Preparation of the M13 sequencing marker.....	34
8.4 Electrophoretic analysis of amplified microsatellite DNA.....	35
III RESULTS.....	36
3.1 Giant tiger shrimp DNA extraction.....	36
3.2 Preparation of Restricted DNA fragments for cloning.....	36
3.3 Library construction and screening.....	40

3.3.1 Library A	40
3.3.2 Library B.....	40
3.4 Characterization of microsatellites in <i>P.monodon</i>	40
3.4.1 Type of microsatellite arrays from library A	40
3.4.2 Type of microsatellite arrays from library B.....	46
3.4.3 Distribution of microsatellite sequences.....	48
3.4.3.1 Distribution of (CT/AG) _n sequence	48
3.4.3.2 Distribution of (GT/CA) _n sequence	48
3.4.3.3 Repeat lengths	49
3.5 Polymorphism of microsatellites in <i>P.monodon</i>	53
IV DISCUSSION	75
V CONCLUSIONS.....	79
REFERENCE	80
APPENDIX	92
BIOGRAPHY	99

สถาบันวิทยบริการ
จุฬาลงกรณ์มหาวิทยาลัย

LIST OF TABLES

Table	page
1.1 Shrimp production from fisheries and aquaculture sectors and culture area in Thailand.....	3
1.2 World Cultured Shrimp Production : 1994-1996.....	4
2.1 Components of the sequencing mixes.....	32
3.1 Perfect microsatellites isolated from Library A using (CT) ₁₅ as a probe.....	42
3.2 Imperfect microsatellites isolated from Library A using (CT) ₁₅ as a probe.....	43
3.3 Compound microsatellites isolated from Library A using (CT) ₁₅ as a probe ...	43
3.4 Perfect microsatellites isolated from Library A using (GT) ₁₅ as a probe.....	43
3.5 Imperfect microsatellites isolated from Library A using (GT) ₁₅ as a probe	43
3.6 Compound microsatellites isolated from Library A using (GT) ₁₅ as a probe...44	44
3.7 Perfect microsatellites isolated from Library B using (GT) ₁₅ as a probe	46
3.8 Imperfect microsatellites isolated from Library B using (GT) ₁₅ as a probe.....	46
3.9 Compound microsatellites isolated from Library B using (GT) ₁₅ as a probe ...47	47
3.10 Average distance in kb between (CT) _n and (GT) _n microsatellites in genome of invertebrate, various fish and mammal species compared to tiger prawn.....	51
3.11 Percentage of different categories and sizes of (CT) _n and (GT) _n microsatellites in honey bee, human, pig, Atlantic salmon, rainbow trout and Atlantic cod compared with giant tiger prawn genome.....	51
3.12 Nucleotide sequences of <i>P.monodon</i> microsatellite primers for amplification of loci by PCR from Library A	53
3.13 Nucleotide sequences of <i>P.monodon</i> microsatellite primers for amplification of loci by PCR from Library B.....	53
3.14 Optimization of PCR conditions for Pmo 195 locus.....	63

3.15 Microsatellite variation of Pmo195 locus in 24 unrelated individual prawn.....	64
3.16 Optimization of PCR conditions for Pmo 519 locus.....	71
3.17 Microsatellite variation of Pmo195 locus in 10 unrelated individual prawn.....	71



สถาบันวิทยบริการ
จุฬาลงกรณ์มหาวิทยาลัย

LIST OF FIGURES

Figure	page
1.1 Geographic distribution of <i>P.monodon</i> in Indo-West Pacific region	5
1.2 The life cycle of the giant tiger prawn, <i>P.monodon</i> , with stages in different abitat.....	6
1.3 Lateral view of <i>P.monodon</i> showing important parts.....	8
3.1 Ethidium bromide staining of extracted DNA from <i>P.monodon</i> pleopods ...	37
3.2 Ethidium bromide staining patterns of one individual <i>P.monodon</i> DNA separately digested with restrition enzymes	38
3.3 Ethidium bromide staining of the recovered DNA fragments of 300-700 bp from low melting agarose el.....	39
3.4 Autoradiographs of colony hybridization screening for microsatellites from <i>P.monodon</i> genomic library A	41
3.5 DNA sequences of perfect, imperfect and compound microsatellites	43
3.6 Frequency of different size classes of the longest uninterrupted (CT/AG) _n microsatellite arrays from <i>P.monodon</i> from library A	50
3.7 Frequency of different size classes of the longest uninterrupted (GT/AG) _n microsatellite arrays from <i>P.monodon</i> from library A.....	50
3.8 Frequency of different size classes of the longest uninterrupted (GT/AG) _n microsatellite arrays from <i>P.monodon</i> from library B	51
3.9 The nucleotide sequences of the microsatellite clone, Pmo 131 locus and the primers designed from the flanking regions	54
3.10 PCR amplification patterns of Pmo 131 locus from six unrelated individual <i>P. monodon</i> DNA 51°C annealing temperature under the standard PCR conditions. The M13 sequencing ladder was used as standard size marker	55

- 3.11 PCR amplification patterns of Pmo 131 locus from six unrelated individual *P. monodon* DNA 51°C annealing temperature under the standard PCR conditions. The M13 sequencing ladder was used as standard size marker56
- 3.12 The nucleotide sequences of the microsatellite clone, Pmo 142 locus and the primers designed from the flanking regions57
- 3.13 PCR amplification patterns of Pmo 142 locus from twelve unrelated individual *P. monodon* DNA at 49°C for the initial annealing temperature under the standard PCR conditions by using ³²P-labeled reverse primer. M13 sequencing ladder was used as standard size marker58
- 3.14 The nucleotide sequences of the microsatellite clone, Pmo 195 locus and the primers designed from the flanking regions60
- 3.15 PCR amplification patterns of Pmo 195 locus from 10 unrelated individual *P. monodon* DNA 51°C annealing temperature under the standard PCR conditions. Arrows indicated microsatellite alleles61
- 3.16 PCR amplification patterns of Pmo 195 locus from 24 unrelated individual *P. monodon* DNA (lane 1-24) at 51°C annealing temperature under the standard PCR conditions. The M13 sequencing ladder was used as standard size marker62
- 3.17 The nucleotide sequences of the microsatellite clone, Pmo 517 locus and the primers designed from the flanking regions65
- 3.18 PCR amplification patterns of Pmo 517 locus from 10 unrelated individual *P. monodon* DNA at 56°C for the initial annealing temperature under the standard PCR conditions66

- 3.19 PCR amplification patterns of Pmo 517 locus from 12 unrelated individual *P. monodon* DNA by using 32 P-labeled forward primer at 51°C annealing temperature under the standard PCR conditions. The M13 sequencing ladder was used as standard size marker67
- 3.20 The nucleotide sequences of the microsatellite clone, Pmo519 locus and the primers designed from the flanking regions.....69
- 3.21 A amplification patterns of Pmo 519 locus from 12 unrelated individual *P.monodon* DNA at 53°C annealing temperature under the standard PCR conditions. The M13 sequencing ladder was used as standard size marker70
- 3.22 PCR amplification patterns of Pmo 519 locus from 10 unrelated individual *P. monodon* DNA at 55°C annealing temperature under the standard PCR conditions. The M13 sequencing ladder was used as standard size marker. An Arrow indicated microsatellite alleles.....72
- 3.23 The nucleotide sequences of the microsatellite clone, Pmo524 locus and the primers designed from the flanking regions.....73
- 3.24 PCR amplification patterns of Pmo 524 locus from 10 unrelated individual *P. monodon* DNA at 53°C for the initial annealing temperature under the standard PCR conditions74

LIST OF ABBREVIATIONS

°C	Degree celsius
μl	Microlitre (10 ⁻⁶ litre)
bp	Base pair
BSA	Bovine serum albumin
CaCl ₂	Calcium chloride
ddH ₂ O	Deionized distilled water
DNA	Deoxyribonucleic acid
DOF	Department of Fisheries
EDTA	Ethylene diamine tetraacetic acid (disodium salt)
HCl	Hydrochloric acid
kb	Kilobase pair (10 ³ base pair)
kg	Kilogram
LB	Luria-Bertani medium
m	Meter
min	Minute
ml	Millilitre (10 ⁻³ litre)
MT	Metric Tonnes
mtDNA	Mitochondrial DNA
ng	Nanogram (10 ⁻⁹ gram)
O.D.	Optical Density
ppt	Part per ton
PCR	Polymerase chain reaction
Rnase	Ribonuclease
SDS	Sodium dodecyl sulfate
sec	Second

SSC	Salt sodium citrate
T _A	Annealing temperaature
TE	Tris EDTA
Tris	Tris (hydroxy methyl) aminomethane
V	Volt
VNTR	Variable number of tandem repeats



สถาบันวิทยบริการ
จุฬาลงกรณ์มหาวิทยาลัย